

## **SAE 1.02 - E3CETE**

J. Renaud - M. Franceus-Cointrel

Pour le 14 janvier 2024

# Table des matières

<b>1</b>	<b>Analyse et comparaison des 3 méthodes de tris</b>	<b>3</b>
1.1	Les fonctions de tris et comptage du nombre d'opérations approximatif . . . . .	3
1.1.1	Tri par sélection . . . . .	3
1.1.2	Tri par bulles . . . . .	3
1.1.3	Tri par insertion . . . . .	3
1.2	Protocole de test . . . . .	4
1.2.1	Définition des variables . . . . .	4
1.2.2	Protocole expérimental . . . . .	4
1.2.3	Fonctions Test . . . . .	4
1.3	Test n°1 . . . . .	6
1.3.1	Initialisation et spécificités . . . . .	6
1.3.2	Analyse graphique . . . . .	6
<b>2</b>	<b>Théorie</b>	<b>8</b>
2.1	Représentation mathématique de la Class <i>Table</i> . . . . .	8
2.2	Etude du cas 3CR . . . . .	8
2.2.1	Calculs théoriques . . . . .	8
2.2.2	Fonction <i>proba3RC</i> . . . . .	9
2.2.3	Traitements de données et analyse graphique . . . . .	9
2.3	Etude du cas 3CR&2CL . . . . .	11
2.3.1	Caluls théoriques . . . . .	11
2.3.2	Vérification empirique succincte . . . . .	11
2.4	Etude du cas E3C . . . . .	11
2.4.1	Methode <i>estUnE3C</i> . . . . .	11
2.4.2	Traitements de données et analyse graphique . . . . .	11
<b>A</b>	<b>Modules utilisés</b>	<b>12</b>
<b>B</b>	<b>Sources</b>	<b>13</b>

# Introduction

Dans cette SAE nous étudions...

## Chapitre 1

# Analyse et comparaison des 3 méthodes de tris

### 1.1 Les fonctions de tris et comptage du nombre d'opérations approximatif

#### 1.1.1 Tri par sélection

1 `%insert code here`

Code 1.1: *Fonction marche aléatoire*

#### 1.1.2 Tri par bulles

#### 1.1.3 Tri par insertion

## 1.2 Protocole de test

### 1.2.1 Définition des variables

L'objectif de cette expérience est d'évaluer la performance de chacun des tris. Pour cela nous devons réaliser chacun des tris en variant le nombre de cartes  $N$  contenus dans le Paquet. Pour cette expérience les paquets triés seront toujours pleins, et le nombre de cartes  $N$  contenus est déterminé par les cardinalités des caractéristiques possibles. En principe nous fixons les cardinalités associés aux couleurs/figures/textures pour ne seulement varier le nombres de répétition des figures. Ainsi  $N$  est défini tel que :

$$N = \text{cardCouleurs} \times \text{cardFigures} \times \text{cardTextures} \times \text{cardRepetFigures}$$

Pour chacun des méthodes de tris nous calculons le nombre d'opération  $nbOpApprox$  et son temps d'exécution (en ms)  $tempsExec$ . Ainsi, en répétant les tris  $nbRepetTest$  nombre de fois pour  $N$  fixé, nous en déduisons les valeurs moyennes ainsi que leurs incertitudes (écartype) telles que :

$$nbOpMoy = \frac{1}{nbRepetTest} \times \sum_{i=1}^{nbRepetTest} nbOpApprox_i \quad (1.1)$$

$$u\_nbOp = \sqrt{\frac{1}{nbRepetTest} \times \sum_{i=1}^{nbRepetTest} (nbOpApprox_i - nbOpMoy)^2} \quad (1.2)$$

$$tempsExecMoy = \frac{1}{nbRepetTest} \times \sum_{i=1}^{nbRepetTest} tempsExec_i \quad (1.3)$$

$$u\_tempsExec = \sqrt{\frac{1}{nbRepetTest} \times \sum_{i=1}^{nbRepetTest} (tempsExec_i - tempsExecMoy)^2} \quad (1.4)$$

### 1.2.2 Protocole expérimental

1. Réaliser les 3 tris sur  $nbRepetTest$  paquets ayant les mêmes caractéristiques mais chacun mélangés différemment, pour un même nombre de cartes  $N$ .
2. Récupérer le nombre d'opération  $nbOpApprox$  et le temps d'exécution  $tempsExec$  de chacun des tris pour toutes les répétitions.
3. Calculer et stocker les valeurs moyennes  $nbOpMoy$  (1.1) et  $tempsExecMoy$  (1.3), ainsi que leurs incertitudes  $u\_nbOp$  (1.2) et  $u\_tempsExec$  (1.4).
4. Répéter l'expérience en variant  $N$ , en modifiant la valeur de  $cardRepetFigures$ .

### 1.2.3 Fonctions Test

1 `%insert code here`

Code 1.2: *Focntion marche aléatoire*

## 1.3 Test n°1

### 1.3.1 Initialisation et spécificités

Les variables :

- `int nbRepetTest = 1000`
- `int cardCouleurs = 1`
- `int cardFigures = 1`
- `int cardTextures = 1`
- `int cardRepetFigures ∈ [10 – 500]`

Spécificités de l'appareil utilisés : .....

### 1.3.2 Analyse graphique

Nous stockons les données des tests sous forme de 3 fichiers .csv, grâce à une fonction de conversion. Chaque fichier correspond à une méthode de tri et contient toutes les valeurs de  $N$ ,  $nbOpMoy$ ,  $u\_nbOp$ ,  $tempsExec$ ,  $u\_tempsExec$  associées à cette dernière. Nous choisissons de réaliser le graphique de  $nbOpMoy = f(N)$  et de  $tempsExecMoy = f(N)$  à l'aide du logiciel Regressi.

Etant données que ces 3 fonctions de tris utilisent chacune une double boucle imbriquée, nous nous attendons à une complexité quadratique  $O(n^2)$ .

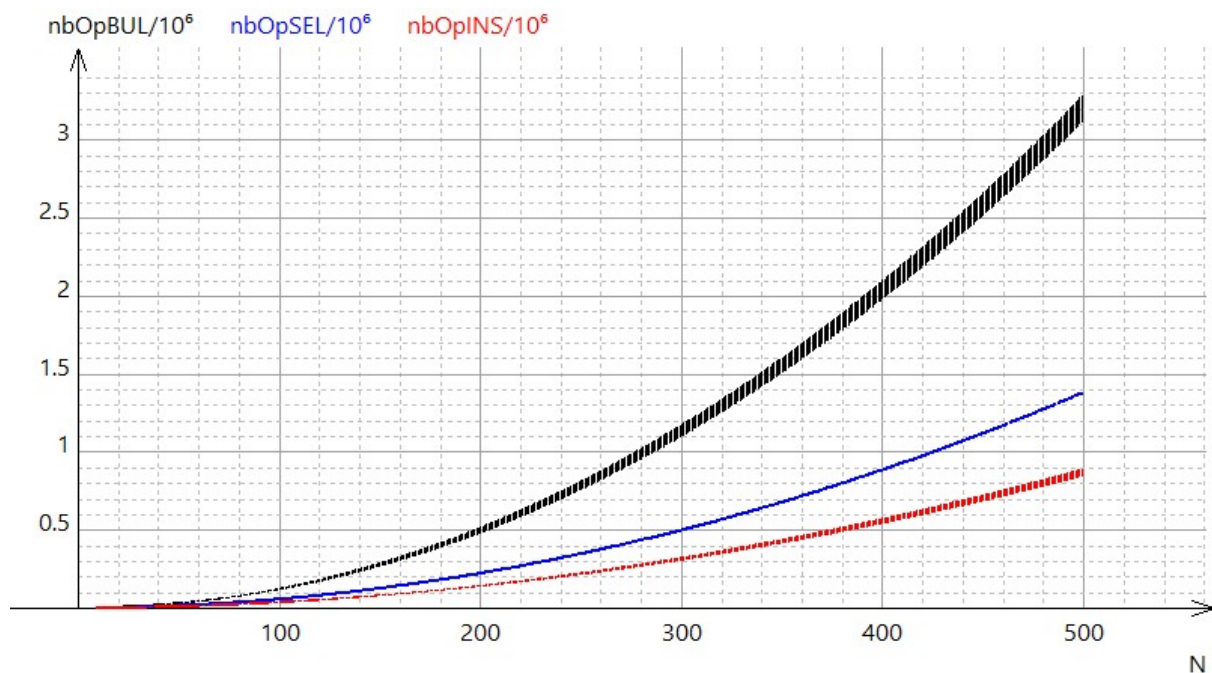


Figure 1.1: Graphique de  $nbOpMoy = f(N)$  avec les barres d'incertitudes sur  $nbOpMoy$  pour les 3 méthodes de tris : en bleu .....

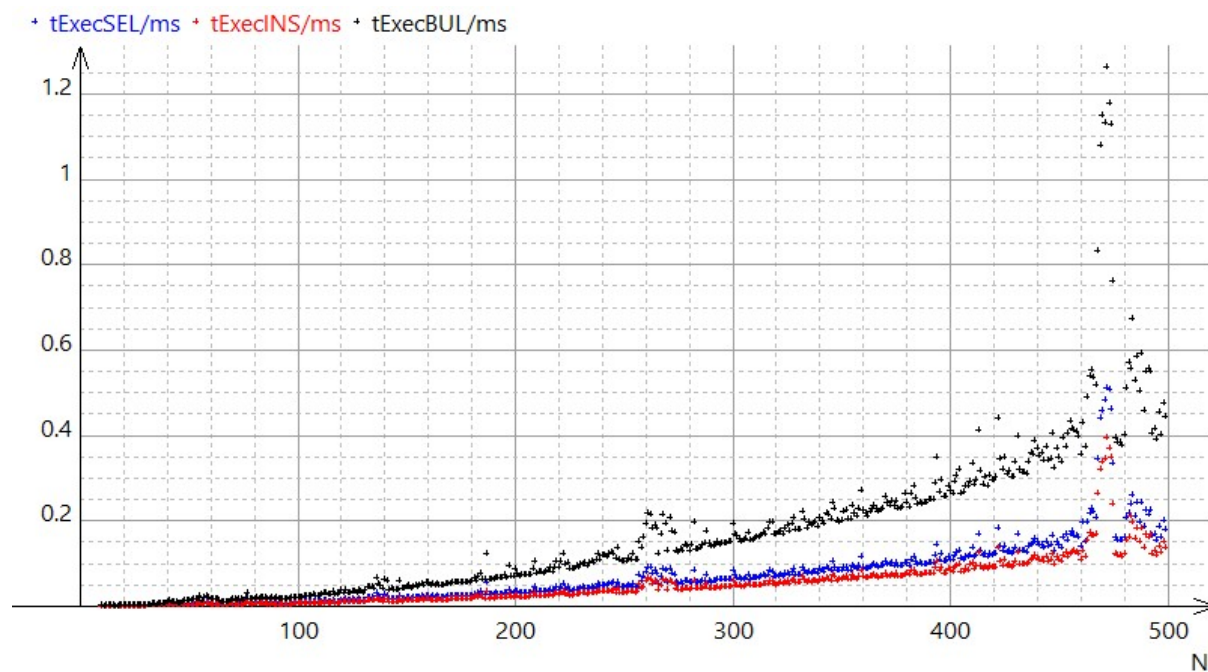


Figure 1.2: Graphique de  $\text{tempsExecMoy} = f(N)$  pour les 3 méthodes de tris : en bleu .....

Commentaire : .....



## Chapitre 2

# Théorie

### 2.1 Représentation mathématique de la Class *Table*

1. Une *Table* est une liste ordonnée de *Cartes* tous différentes (pas de répétition), parmi toutes les *Cartes* du jeu contenues dans un *Paquet*. Une *Table* est donc un arrangement.
2. Pour une *Table* de 9 *Cartes* et un jeu de 81 *Cartes*, le nombre de *Tables* différentes possibles est tel que :

$$A_{81}^9 = \frac{81!}{(81-9)!} = 81 \times 80 \times \dots \times 74 \times 73 = 94670977328928000$$

### 2.2 Etude du cas 3CR

#### 2.2.1 Calculs théoriques

3. Sachant que pour une *Carte* il y a 3 *Couleurs*, 3 répétitions maximales de figures, 3 *Figures* et 3 *Textures* possibles ; on en déduit qu'il existe  $1 \times 3 \times 3 \times 3 = 27$  cartes rouges distinctes. Pour déterminer les arrangements possibles contenant exactement 2 cartes rouges, nous comptons le nombre de combinaisons possibles de 3 cartes rouges parmi les 27 que multiplie le nombre de combinaisons possibles des 6 cartes restantes de la *Table* parmi les 54 cartes non rouges. A chacune de ces combinaisons possibles de 3 cartes rouges + 6 cartes non rouges (pas d'ordre), nous pouvons réaliser 9! permutations possibles. Ainsi, le nombre de *Tables* différentes contenant exactement 3 *Cartes* rouges est tel que :

$$C_{27}^3 \times C_{81-27}^6 \times 9! = \frac{27!}{3!(27-3)!} \times \frac{54!}{6!(54-6)!} \times 9! = 2925 \times 25827165 \times 362880 = 27413572782960000$$

4. On en déduit la probabilité  $P_{3CR}$  d'obtenir une *Table* contenant exactement 3 cartes rouges :

$$P_{3CR} = \frac{casFavorables}{casTotal} = \frac{C_{27}^3 \times C_{81-27}^6 \times 9!}{A_{81}^9} = \frac{27413572782960000}{94670977328928000} = 0.28956680871386137$$

### 2.2.2 Fonction *proba3RC*

5. fonction here

### 2.2.3 Traitements de données et analyse graphique

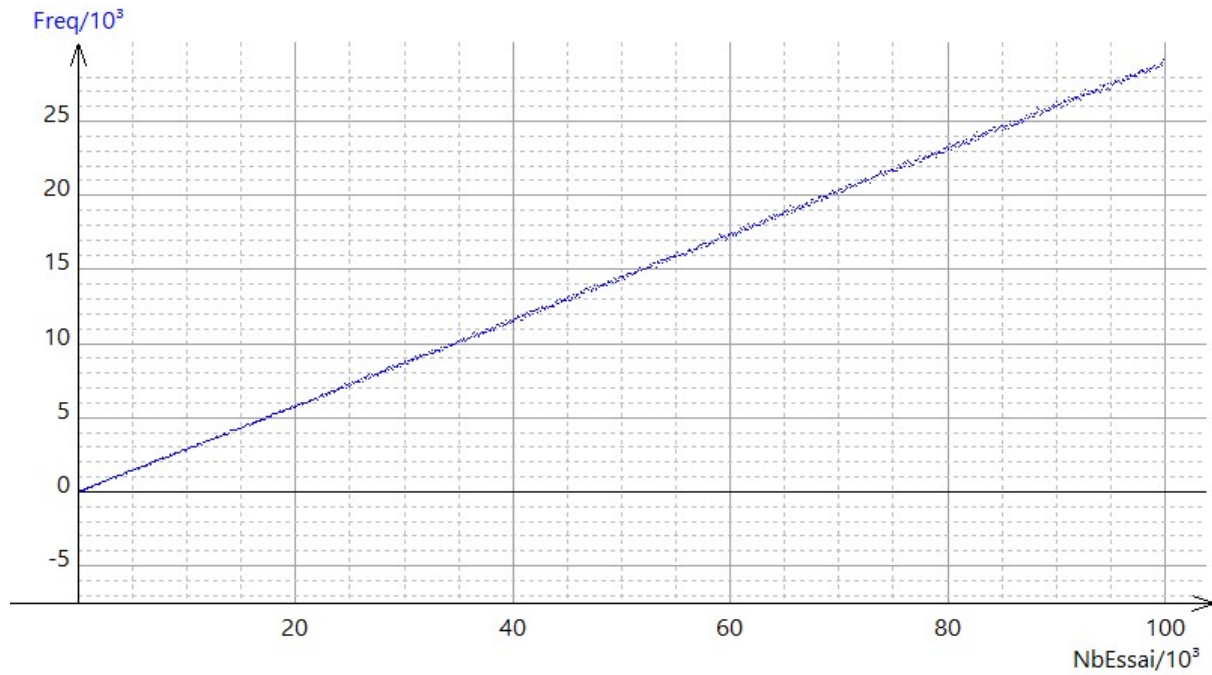


Figure 2.1: Graphique de  $Freq = f(nbEssai)$  en faisant varier  $nbEssai$  de 100 à 100 000 par pas de 100

Les graphiques obtenus à partir des données générées par cette fonction permettent de déterminer une valeur expérimental de  $P_{3CRexp}$ . En effet, en traçant  $Freq = f(nbEssai)$  nous apercevons que la courbe varie linéairement. Ceci est en accord avec la théorie puisque  $P_{3CRtheo} = \frac{casFavorables}{casTotal}$  soit  $casFavorables = P_{3CR} \times casTotal$  ce qui équivaut à  $Freq = a \times nbEssai$ . En réalisant une modélisation linéaire grâce à l'outils de modélisation sur le logiciel *Regressi* ; nous en déduisons :

$$P_{3CRexp} = a = 0.28939 \pm 0.00015$$

Nous pouvons calculer le pourcentage d'erreur  $Err$  telle que :

$$Err = abs \left( \frac{P_{3CRtheo} - P_{3CRexp}}{P_{3CRtheo}} \right) \times 100 = 0.061\%$$

6. fonction here

Pour déterminer à partir de combien d'essais il faut pour obtenir un résultat fiable, nous avons choisi de tracer  $Err = f(nbEssai)$  à partir des probabilités propres à chacun des événements (associé à nombre d'essais) :  $P = Freq/nbEssai$ .

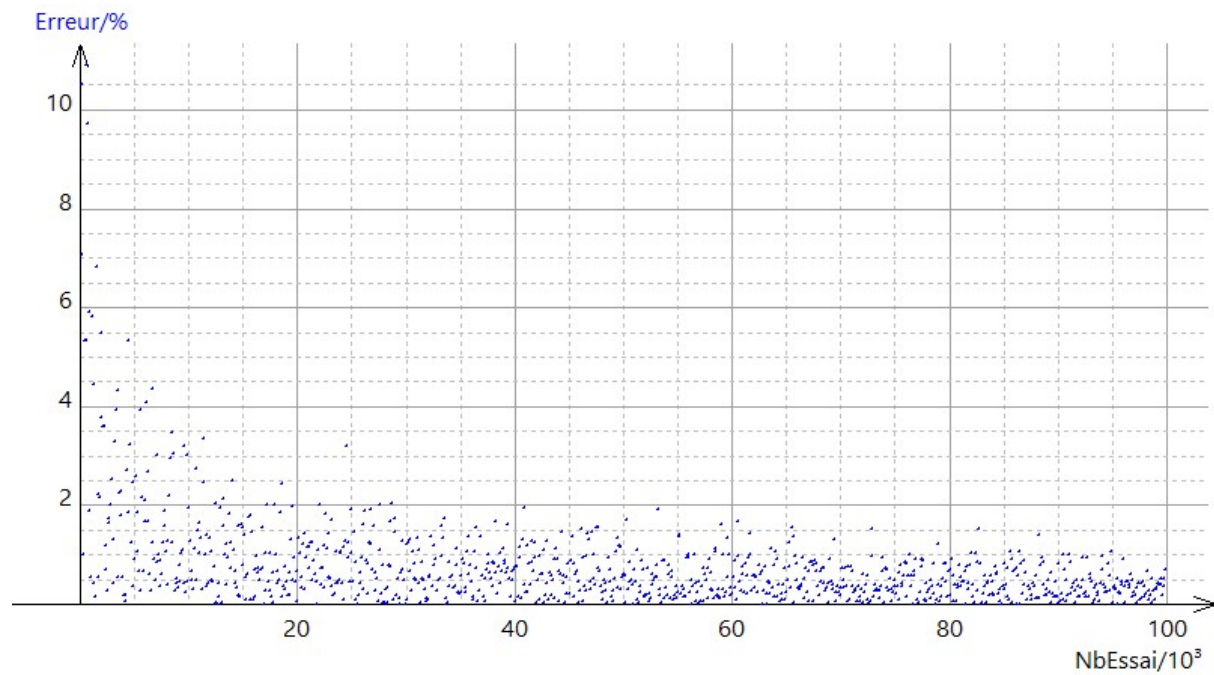


Figure 2.2: Graphique de  $Err = f(nbEssai)$  en faisant varier  $nbEssai$  de 100 à 100 000 par pas de 100

Nous observons que pour avoir un résultat fiable à 5% d'erreur près, il faut au moins environ 10 000 essais. Le graphique ci-dessous de  $P = f(nbEssai)$  illustre bien la répartition des probabilités qui converge vers la valeur théorique en augmentant le nombre d'essais.

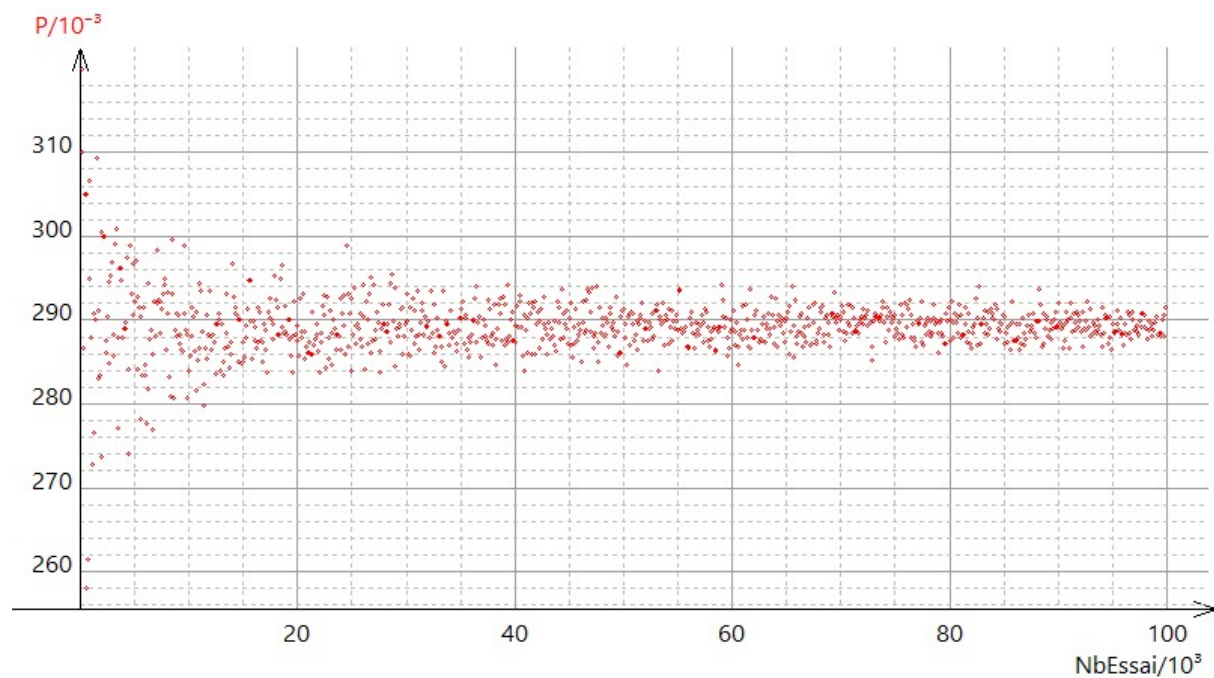


Figure 2.3: Graphique de  $P = f(nbEssai)$  en faisant varier  $nbEssai$  de 100 à 100 000 par pas de 100

## 2.3 Etude du cas 3CR&2CL

### 2.3.1 Caluls théoriques

7. L'intersection de l'ensemble des cartes rouges et des cartes ayant au moins un losange n'est pas vide. Il faut étudier chacune des cas. Il y a 27 cartes rouges distincts et 27 cartes ayant au moins un losange. Parmi ces cartes rouges seulement  $1 \times 3 \times 2 \times 3 = 18$  n'ont pas de losange. De même, parmi les cartes ayant au moins un losange,  $2 \times 3 \times 1 \times 3 = 18$  ne sont pas rouges. Ainsi,  $1 \times 3 \times 1 \times 3 = 9$  cartes sont à la fois rouges et ont au moins un losange.

Table 2.1: Tableau récapitulatif des différents cas possibles pour obtenir une combinaison de 9 cartes avec exactement 3 cartes rouges et 2 cartes ayant au moins un losange :

On en déduit le nombre d'arrangements possibles de *Table* contenant exactement 3 cartes rouges et 2 cartes ayant au moins 1 losange tel que :

$$\begin{aligned}
 & 9! \times (C_9^2 \times C_{18}^1 \times C_{18}^0 \times C_{36}^6 \\
 & + C_9^1 \times C_{18}^2 \times C_{18}^1 \times C_{36}^5 \\
 & + C_9^0 \times C_{18}^3 \times C_{18}^2 \times C_{36}^4) \\
 & = 362880 \times 17960464368 = 6517493309859840
 \end{aligned}$$

On en déduit la probabilité  $P_{3CR\&2CL}$  de cet événement :

$$P_{3CR\&2CL} = \frac{casFavorables}{casTotal} = \frac{6517493309859840}{94670977328928000} = 0.06884362550959248$$

### 2.3.2 Vérification empirique succincte

8. fonction here

## 2.4 Etude du cas E3C

### 2.4.1 Methode *estUnE3C*

### 2.4.2 Traitements de données et analyse graphique

## Annexe A

# Modules utilisés

```
1  import math
2      from math import pi
3  import random as rnd
4  import statistics as stats
5  import matplotlib
6  import matplotlib.pyplot as plt
7  import matplotlib.cm as cm
8      from matplotlib.patches import Ellipse
9      from mpl_toolkits import mplot3d
10 import numpy as np
11 import scipy as scp
12 import scipy.stats as st
13      from scipy.stats import multivariate_normal
```

Code A.1: *Modules utilisés en Python 3.9.2*

## Annexe B

# Sources

- <https://moodle.umontpellier.fr/course/view.php?id=25363>
- [https://femto-physique.fr/physique\\_statistique/diffusion-moleculaire.php](https://femto-physique.fr/physique_statistique/diffusion-moleculaire.php)
- [https://stringfixer.com/fr/Random\\_walk](https://stringfixer.com/fr/Random_walk)
- [https://en.wikipedia.org/wiki/Mass\\_diffusivity](https://en.wikipedia.org/wiki/Mass_diffusivity)
- [https://fr.wikipedia.org/wiki/Mouvement\\_brownien](https://fr.wikipedia.org/wiki/Mouvement_brownien)
- [https://fr.wikipedia.org/wiki/Lois\\_de\\_Fick](https://fr.wikipedia.org/wiki/Lois_de_Fick)
- [https://fr.wikipedia.org/wiki/Cha%C3%A9ne\\_id%C3%A9ale](https://fr.wikipedia.org/wiki/Cha%C3%A9ne_id%C3%A9ale)
- [https://fr.wikipedia.org/wiki/Loi\\_multinomiale](https://fr.wikipedia.org/wiki/Loi_multinomiale)
- [https://en.wikipedia.org/wiki/Multivariate\\_normal\\_distribution](https://en.wikipedia.org/wiki/Multivariate_normal_distribution)
- <https://www.youtube.com/channel/UCmpptkXu8iIFe6kfDK5o7VQ>
- <https://www.caam.rice.edu/~heinken/latex/symbols.pdf>
- <https://matplotlib.org/stable/index.html>

Figure B.1: *Langages et éditeurs utilisés*